

厄尔尼诺-南方涛动时滞海-气振子耦合模型*

莫嘉琪^{1)†} 王 辉³⁾ 林万涛⁴⁾

1) 安徽师范大学, 芜湖 241000)

2) 上海高校计算科学 E-研究院上海交通大学研究所, 上海 200240)

3) 中国气象科学研究院, 北京 100081)

4) 中国科学院大气物理研究所, 北京 100029)

(2005 年 10 月 24 日收到, 2005 年 12 月 7 日收到修改稿)

研究了一个时滞海-气振子模型. 利用摄动理论和方法, 得到了海-气振子模型解的渐近展开式.

关键词: 非线性, 时滞, 厄尔尼诺-南方涛动, 海-气振子

PACC: 0230, 0200

1. 引 言

上世纪以来, 关于厄尔尼诺-南方涛动(ENSO) 年际变化方面已经有许多研究, 对赤道海-气耦合系统的认识和模拟有了较大的进展^[1]. McCreary 提出了一个关于 ENSO 振荡性的机理^[2], 它是基于赤道副热带在西海岸海水上涌 Rossby 波的影响提出来的. Suarez 和 Schopf 引入了一个 ENSO 时滞振荡机理^[3]. 它是由具有正和负反馈的时滞微分方程来表示的. 由赤道东太平洋局部海-气耦合形成的正反馈和在东太平洋耦合区域内的由自由 Rossby 波产生的传播并从西海岸返回的负反馈而形成的.

厄尔尼诺-南方涛动是涉及到赤道太平洋海-气交互的自然现象. ENSO 现象在国际学术界中是非常值得关注的研究对象^[4-10]. 莫嘉琪等人在大气物理、海洋气候、动力系统等方面也研究了一些有关的非线性问题^[11-20]. 近来许多学者已经研究了许多非线性问题的近似求解理论^[21-25]. 本文是利用一个简单而有效的非线性摄动方法来研究 ENSO 时滞海-气振子的模型.

2. 赤道太平洋 SST 模型

ENSO 时滞振荡模型是假设在西太平洋信风作

用影响到东太平洋的海表温度(SST)异常. 这里假设在 Niño-4 区域(5°S—5°N, 160°E—150°W)信风强度异常是线性地影响到 Niño-3 区域(5°S—5°N, 150°E—90°W)的 SST 异常. 我们能够建立如下赤道太平洋的非线性时滞模型^[10]:

$$\frac{dT}{dt} = aT - b_1\tau_1(t - \eta) - \epsilon T^3, \quad (1)$$

$$\frac{d\tau_1}{dt} = dT - R_{\tau_1}\tau_1, \quad (2)$$

其中 T 为区域 Niño-3 的 SST 异常, τ_1 为在区域 Niño-4 的信风强度异常, η 为西太平洋转到东太平洋信风传播波的时间, a 为关于 T 的正反馈系数, b_1 为由于在西海岸反射波的负反馈系数, d 为联系到 Niño-3 区域的 SST 异常到 Niño-4 区域的信风强度异常的系数, R_{τ_1} 为信风衰减系数, ϵ 为 SST 的立方衰减系数. 这里还假设 $b_1 = c\epsilon$, 其中 c 为正的常数, 而 ϵ 为正的小参数.

3. SST 的摄动解

现来求解非线性时滞耦合系统(1), (2). 令

$$T(t) = T_0(t) + T_1(t)\epsilon + T_2(t)\epsilon^2 + \dots, \quad (3)$$

$$\tau_1(t) = \tau_{10}(t) + \tau_{11}(t)\epsilon + \tau_{12}(t)\epsilon^2 + \dots \quad (4)$$

将(3), (4)式代入方程(1), (2), 按 ϵ 展开非线性

* 国家自然科学基金(批准号 90111011 和 10471039) 国家重点基础研究发展计划项目(批准号 2003CB415101-03 和 2004CB418304) 中国科学院创新方向性项目(批准号: KZCX3-SW-221) 和上海市教育委员会 E-研究院建设计划项目(批准号: N.E03004).

† E-mail: mojiaqi@mail.ahnu.edu.cn

项,合并同次幂项的系数.由 ε^0 项,可得

$$\frac{dT_0}{dt} = a\tau_{10}, \quad (5)$$

$$\frac{d\tau_{10}}{dt} = dT_0 - R_{\tau_1}\tau_{10}. \quad (6)$$

不难得到系统(5),(6)的解为

$$T_0(t) = C_{01}\exp(\lambda_1 t) + C_{02}\exp(\lambda_2 t), \quad (7)$$

$$\tau_{10}(t) = \frac{C_{01}\lambda_1}{a}\exp(\lambda_1 t) + \frac{C_{02}\lambda_2}{a}\exp(\lambda_2 t), \quad (8)$$

其中 C_{01}, C_{02} 为任意常数,而

$$\lambda_i = \frac{1}{2}[-R_{\tau_1} \mp \sqrt{R_{\tau_1}^2 + 4ad}], i = 1, 2.$$

由展开式,对于 ε^1 的系数,有

$$\frac{dT_1}{dt} = a\tau_{11} + c\tau_{10}(t - \eta) - T_0^3, \quad (9)$$

$$\frac{d\tau_{11}}{dt} = dT_1 - R_{\tau_1}\tau_{11}. \quad (10)$$

由(7)–(9)式,可得

$$\begin{aligned} \frac{dT_1}{dt} = & a\tau_{11} + c \sum_{i=1}^2 C_{0i}\lambda_i \exp\lambda_i(t - \eta) \\ & - \left[\sum_{i=1}^2 C_{0i}\exp(\lambda_i t) \right]^3. \end{aligned}$$

于是可以求得系统(9),(10)的解为

$$\begin{aligned} T_1(t) = & C_{11}\exp(\lambda_1 t) + C_{12}\exp(\lambda_2 t) - \frac{acd}{\lambda_1 - \lambda_2} \sum_{i=1}^2 (-1)^i C_{0i}\exp\lambda_i(t - \eta) \\ & + \frac{c}{(\lambda_1 - \lambda_2)^2} [\exp(\lambda_1 t) - \exp(\lambda_2 t)] \sum_{i=1}^2 (-1)^i C_{0i}\lambda_i^2 \exp(-\lambda_i \eta) \\ & - \frac{ad}{\lambda_1 - \lambda_2} \sum_{i,j,k,r=1}^2 (-1)^j \frac{C_{0i}C_{0j}C_{0k} [\exp(\lambda_i + \lambda_j + \lambda_k)t - \exp(\lambda_r t)]}{(\lambda_i + \lambda_j + \lambda_k - \lambda_r)\lambda_r}, \end{aligned} \quad (11)$$

$$\begin{aligned} \tau_{11}(t) = & \frac{C_{11}\lambda_1}{a}\exp(\lambda_1 t) + \frac{C_{12}\lambda_2}{a}\exp(\lambda_2 t) - \frac{cd}{\lambda_1 - \lambda_2} \sum_{i=1}^2 (-1)^i C_{0i}\lambda_i \exp\lambda_i(t - \eta) \\ & - \frac{cd}{(\lambda_1 - \lambda_2)^2} [\exp(\lambda_1 t) - \exp(\lambda_2 t)] \sum_{i=1}^2 (-1)^i C_{0i}\lambda_i \exp(-\lambda_i \eta) \\ & - \frac{d}{\lambda_1 - \lambda_2} \sum_{i,j,k,r=1}^2 (-1)^j \frac{C_{0i}C_{0j}C_{0k} [\exp(\lambda_i + \lambda_j + \lambda_k)t - \exp(\lambda_r t)]}{\lambda_i + \lambda_j + \lambda_k - \lambda_r}, \end{aligned} \quad (12)$$

其中 C_{11}, C_{12} 为任意常数.

将(7),(8),(11),(12)式代入(3),(4)式,便得到耦合模型(1),(2)的一次近似的渐近解

$$\begin{aligned} T = T_0 + T_1\varepsilon + \dots = & \sum_{i=1}^2 C_i \exp(\lambda_i t) + \left[-\frac{acd}{\lambda_1 - \lambda_2} \sum_{i=1}^2 (-1)^i C_{0i}\exp\lambda_i(t - \eta) \right. \\ & + \frac{c}{(\lambda_1 - \lambda_2)^2} [\exp(\lambda_1 t) - \exp(\lambda_2 t)] \sum_{i=1}^2 (-1)^i C_{0i}\lambda_i^2 \exp(-\lambda_i \eta) \\ & \left. - \frac{ad}{\lambda_1 - \lambda_2} \sum_{i,j,k,r=1}^2 (-1)^j \frac{C_{0i}C_{0j}C_{0k} [\exp(\lambda_i + \lambda_j + \lambda_k)t - \exp(\lambda_r t)]}{(\lambda_i + \lambda_j + \lambda_k - \lambda_r)\lambda_r} \right] \varepsilon \\ & + O(\varepsilon^2), 0 < \varepsilon \ll 1, \end{aligned} \quad (13)$$

$$\begin{aligned} \tau = \tau_{10} + \tau_{11}\varepsilon + \dots = & \sum_{i=1}^2 \frac{C_i}{a} \lambda_i \exp(\lambda_i t) + \left[-\frac{cd}{\lambda_1 - \lambda_2} \sum_{i=1}^2 (-1)^i C_{0i}\lambda_i \exp\lambda_i(t - \eta) \right. \\ & - \frac{cd}{(\lambda_1 - \lambda_2)^2} [\exp(\lambda_1 t) - \exp(\lambda_2 t)] \sum_{i=1}^2 (-1)^i C_{0i}\lambda_i \exp(-\lambda_i \eta) \\ & \left. - \frac{d}{\lambda_1 - \lambda_2} \sum_{i,j,k,r=1}^2 (-1)^j \frac{C_{0i}C_{0j}C_{0k} [\exp(\lambda_i + \lambda_j + \lambda_k)t - \exp(\lambda_r t)]}{\lambda_i + \lambda_j + \lambda_k - \lambda_r} \right] \varepsilon \\ & + O(\varepsilon^2), 0 < \varepsilon \ll 1, \end{aligned} \quad (14)$$

其中 $C_i = C_{0i} + C_{1i}\varepsilon, i = 1, 2$.

用上述方法还可以很方便地得到耦合模型(1),

(2) 解的更高次的渐近展开式.

4. 解的精度比较

为了说明耦合系统(1),(2)解的渐近式(13),(14)的精度 现在我们选取模型的几个特殊的实际参数^[13]: $a = 1.5 \times 10^2 \text{ } ^\circ\text{C} \cdot \text{m}^2 \cdot \text{N}^{-1} \cdot \text{yr}^{-1}$, $d = 3.6 \times 10^{-2}$

$\text{ } ^\circ\text{C} \cdot \text{m}^{-2} \cdot \text{Nyr}^{-1}$, $R = 2.0 \text{ yr}^{-1}$, $\eta = 0.4 \text{ yr}$, $c = 0$, $\epsilon = 0.1 \times 10^{-2}$, $C_{01} = 1$, $C_{02} = C_{11} = C_{12} = 0$, 再用数值模拟的方法和展开式(13),(14)进行比较.

现在我们来比较对耦合系统模型用数值方法计算出的 T_{num} , $\tau_{1\text{num}}$ 的图形和间断点数值以及用摄动方法计算出的 T_{asp} , $\tau_{1\text{asp}}$ 的图形和间断点数值,如图 1 图 2 和表 1.

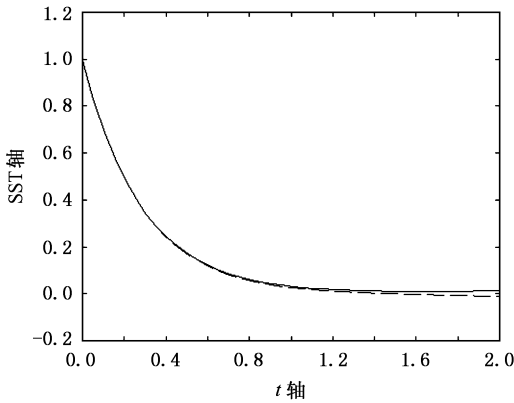


图 1 SST 曲线(实线为 T_{asp} ;虚线为 T_{num})

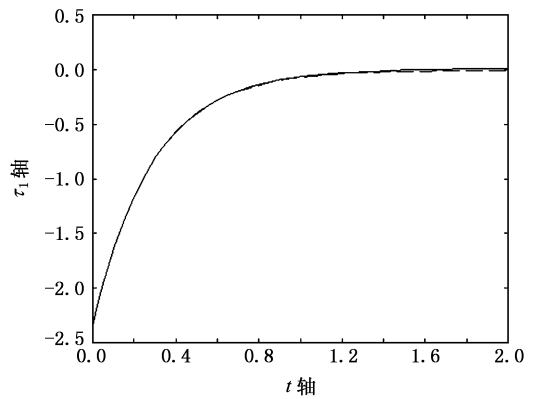


图 2 τ_1 曲线(实线为 $\tau_{1\text{asp}}$;虚线为 $\tau_{1\text{num}}$)

表 1 T_{num} 与 T_{asp} , $\tau_{1\text{num}}$ 与 $\tau_{1\text{asp}}$ 的间断点的数值对照表

T	0.00	0.25	0.50	0.75	1.00	1.25	1.50	1.75	2.00
T_{num}	1.000	0.413	0.170	0.069	0.027	0.018	-0.007	-0.006	-0.011
T_{asp}	1.000	0.415	0.173	0.073	0.032	0.016	-0.010	0.010	0.014
$\tau_{1\text{num}}$	-2.353	-0.974	-0.404	-0.169	-0.072	-0.033	-0.018	-0.013	-0.015
$\tau_{1\text{asp}}$	-2.353	-0.973	-0.402	-0.165	-0.066	-0.025	-0.006	0.004	0.011

5. 结 论

1. 从 T_{asp} 与 $\tau_{1\text{asp}}$ 和 T_{num} 与 $\tau_{1\text{num}}$ 精度比较的曲线图和间断点的数值可以看出,本文用摄动方法来构造赤道太平洋 ENSO 的非线性时滞耦合模型(1),(2)的渐近解(13),(14)具有良好的近似度.这种方

法简单可行、有效.

2. 用摄动方法得到的渐近解(13),(14)是一个解析式,因此还可以通过(13),(14)式进行有关的解析运算,从而可以继续通过它们来得到相关的物理量.然而用数值理论得到的数值解和模拟解就不能直接进行这样的运算.

[1] Neelin J D, Battisti D S, Hirst A C et al 1998 *J. Geophys. Res.* **103** 262

[2] McCreary J P 1983 *Mon. Wea. Rev.* **111** 370

[3] Suarez M J, Schopf P S 1988 *J. Atmos. Sci.* **45** 3283

[4] McPhaden M J, Zhang D 2002 *Nature* **415** 603

[5] Kushnir Y, Robinson W A 2002 *J. Climate* **15** 2233

[6] Feng G L, Dong W J, Jia X J et al 2002 *Acta Phys. Sin.* **51** 1181 (in Chinese) [封国林、董文杰、贾晓静等 2002 物理学报 **51** 1181]

[7] Han X L 2005 *Acta Phys. Sin.* **54** 259 (in Chinese) [韩祥临 2005 物理学报 **54** 259]

[8] Liu S K, Fu Z T, Liu S D et al 2002 *Acta Phys. Sin.* **51** 10 (in

- Chinese)[刘式适、傅遵涛、刘式达 2002 物理学报 **51** 10]
- [9] Biondi F, Gershunov A, Cayan D R 2001 *J. Climate* **14** 5
- [10] Wang C Z 2001 *J. Climate* **14** 98
- [11] Mo J Q, Zhu J, Wang H 2003 *Progress in Natural Sci.* **13** 768
- [12] Mo J Q, Lin W T, Zhu J 2004 *Progress in Natural Sci.* **14** 550
- [13] Mo J Q, Lin W T 2004 *Acta Phys. Sin.* **53** 996 (in Chinese)[莫嘉琪、林万涛 2004 物理学报 **53** 996]
- [14] Mo J Q, Lin W T, Zhu J 2004 *Acta Phys. Sin.* **53** 3245 (in Chinese)[莫嘉琪、林万涛、朱江 2004 物理学报 **53** 3245]
- [15] Mo J Q, Lin W T 2005 *Acta Phys. Sin.* **54** 993 (in Chinese)[莫嘉琪、林万涛 2005 物理学报 **54** 993]
- [16] Mo J Q, Lin W T 2005 *Acta Phys. Sin.* **54** 1081 (in Chinese)[莫嘉琪、林万涛 2005 物理学报 **54** 1081]
- [17] Mo J Q, Lin W T, Wang H 2005 *Acta Phys. Sin.* **54** 3967 (in Chinese)[莫嘉琪、林万涛、王辉 2005 物理学报 **54** 3967]
- [18] Mo J Q, Lin Y H, Lin W T 2005 *Acta Phys. Sin.* **54** 3971 (in Chinese)[莫嘉琪、林一骅、林万涛 2005 物理学报 **54** 3971]
- [19] Mo J Q, Lin W T 2005 *Chin. Phys.* **14** 875
- [20] Lin W T, Mo J Q 2004 *Chinese Science Bulletin* **48** II 5
- [21] de Jager E M, Jiang F R 1996 *The Theory of Singular Perturbation* (Amsterdam : North-Holland Publishing Co)
- [22] Ammari H, Kang H, Toubi K 2005 *Asymptotic Anal.* **41** 119
- [23] Khasminskii R Z, Yin G 2005 *J. Diff. Eqns.* **212** 85
- [24] Marques I 2005 *Nonlinear Anal.* **61** 21
- [25] Wu Q K 2005 *Acta Phys. Sin.* **54** 2510 (in Chinese)[吴钦宽 2005 物理学报 **54** 2510]

A delayed sea-air oscillator coupling model for the ENSO^{*}

Mo Jia-Qi^{1,2)†} Wang Hui³⁾ Lin Wan-Tao⁴⁾

¹ *Anhui Normal University, Wuhu 241000, China*

² *Division of Computational Science, E-Institutes of Shanghai Universities, at SJTU, Shanghai 200240, China*

³ *Chinese Academy of Meteorological Sciences, Beijing 100081, China*

⁴ *Institute of Atmospheric Physics, Chinese Academy of Sciences, Beijing 100029, China*

(Received 24 October 2005 ; revised manuscript received 7 December 2005)

Abstract

A time delay sea-air oscillator model is studied. Using the perturbation theory and corresponding method, the asymptotic expansion of the solution for the sea-air oscillator model is obtained.

Keywords : nonlinearity, time delay, El Niño-Southern Oscillator sea-air oscillator

PACC : 0230, 0200

* Project supported by the National Natural Science Foundation of China (Grant Nos. 90111011 and 10471039), the National Key Project for Basics Research (Grant Nos. 2003CB415101-03 and 2004CB418304), the Key Project of the Chinese Academy of Sciences (Grant No. KZCX3-SW-221) and in Part by E-Institutes of Shanghai Municipal Education Commission (Grant No. N. E03004).

† E-mail : mojiq@mail.ahnu.edu.cn